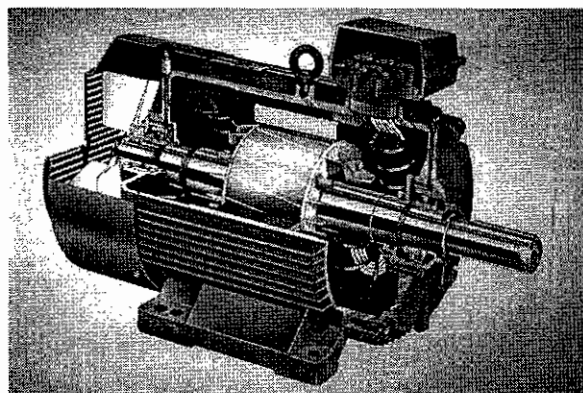


## บทที่ 2

### หลักการและทฤษฎีเกี่ยวกับข้อง

#### 2.1 มอเตอร์ไฟฟ้าเนี่ยวน้ำ 3 เฟส (Three-phase Induction Motor)

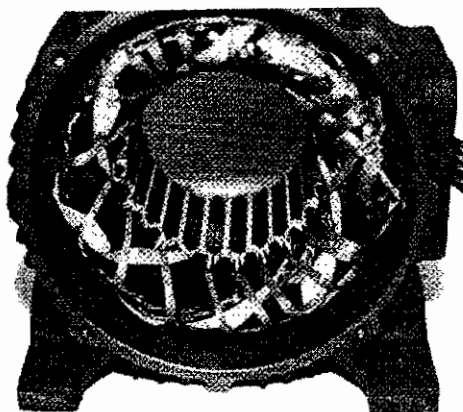


รูปที่ 2.1 มอเตอร์ไฟฟ้าเนี่ยวน้ำ 3 เฟส

มอเตอร์ไฟฟ้าเนี่ยวน้ำ 3 เฟส หรือที่เรียก กันโดยทั่วไปว่า มอเตอร์อินดักชัน มี ส่วนประกอบที่สำคัญ 2 ส่วน คือ ส่วนที่อยู่กับที่ (Stator) และ ส่วนที่หมุน (Rotor)

##### 2.1.1 ส่วนที่อยู่กับที่ (Stator)

ส่วนที่อยู่กับที่ของมอเตอร์ไฟฟ้าเนี่ยวน้ำ 3 เฟส หรือสเตเตอร์ ซึ่งจะทำมาจากแผ่นเหล็ก ตามเนทบ่างๆ อัดซ้อนกันหลายแผ่น และทำเป็นช่องสล็อตไว้เพื่อบรรจุคลัวด กล่าวคือ สเตเตอร์ จะมีหน้าที่ยึดคงคลัว rotor ที่บรรจุอยู่ในช่องสล็อต



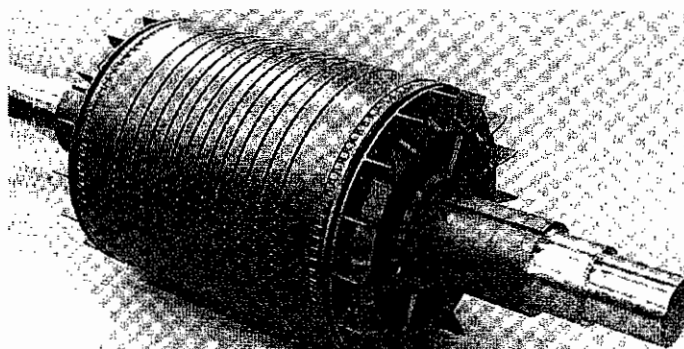
รูปที่ 2.2 ส่วนที่อยู่กับที่ของมอเตอร์ไฟฟ้าเนี่ยวน้ำ 3 เฟส หรือที่เรียกว่า สเตเตอร์

### 2.1.2 ส่วนที่หมุน หรือตัวหมุน (Rotor)

โรเตอร์ของมอเตอร์ไฟฟ้าหนี่ยวน้ำ 3 เฟส แบ่งออกเป็น 2 ชนิด คือ

#### 1. โรเตอร์แบบกรงกระอก (Squirrel-cage rotor)

มอเตอร์ที่ใช้โรเตอร์ชนิดนี้ เรียกว่า มอเตอร์ไฟฟ้าหนี่ยวน้ำแบบกรงกระอก (Squirrel-cage induction motor) มีประมาณ 90% ของมอเตอร์ไฟฟ้าหนี่ยวน้ำ ทั้งนี้เนื่องจากทำได้จ่ายและทนทาน โดยประกอบด้วยแผ่นเหล็กบางๆ อัดซ้อนกันเป็นรูปทรงกระบอก และถูกทำให้เป็นช่องสล็อตขนาดเล็กๆ บนรูปทรงกระบอก ตัวหมุนจะหมุนโดยการดึงแม่เหล็กที่ติดอยู่ในช่องสล็อตจะบรรจุตัวหมุนเพียง 1 แท่งเท่านั้น ปลายสุดของแท่งตัวหมุนทั้ง 2 ด้านจะถูกลัดวงจรเข้าด้วยกันอย่างถาวร จึงไม่สามารถที่จะนำความต้านทานจากภายนอกมาต่ออนุกรมเข้ากับวงจรตัวหมุนเพื่อช่วยในการเริ่มหมุนได้ สล็อตของตัวหมุนจะวางให้มีลักษณะที่ไม่ขนานกับเพลา โดยเมื่อยเดือน้อย เพื่อช่วยให้มอเตอร์หมุนได้เร็ว ด้วยการลดการซึมของเส้นแรงแม่เหล็ก (Magnetic hum) และช่วยในการลดการเกิดการลีดคอกของตัวหมุนอันเนื่องมาจากการหมุนแม่เหล็กต่ำอยู่ที่พื้นของสเตเตอร์กับโรเตอร์ ส่วนโรเตอร์แบบอื่นๆ ก็มีลักษณะคล้ายกันกับตัวหมุนโรเตอร์แบบกรงกระบอก โดยประกอบด้วยแท่งเหล็กทรงกระบอกด้าน มอเตอร์จะหมุนได้เช่นอยู่กับผลของการเกิดกระแสไฟฟ้าในแท่งเหล็กของโรเตอร์



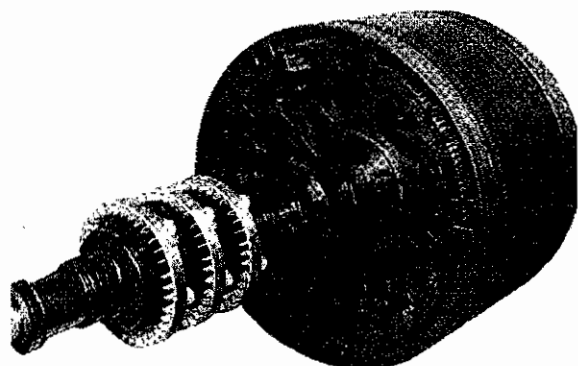
รูปที่ 2.3 โรเตอร์แบบกรงกระบอก (Squirrel-cage rotor) ของมอเตอร์ไฟฟ้าหนี่ยวน้ำ

#### 2. โรเตอร์แบบขดลวดพันรอบโรเตอร์ หรือโรเตอร์แบบวาวล์ หรือเฟสวาวล์

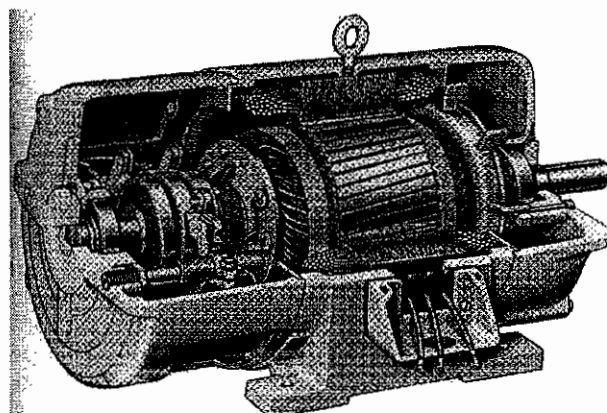
(Wound-rotor or phase wound-rotor)

มอเตอร์ที่ใช้โรเตอร์ชนิดนี้ เรียกว่า มอเตอร์ไฟฟ้าหนี่ยวน้ำแบบขดลวดพันรอบโรเตอร์ หรือเฟสวาวล์มอเตอร์ หรือสลิปปริงมอเตอร์ (Wound-rotor induction motor or Slip-rings motor) พบนามในมอเตอร์ไฟฟ้าหนี่ยวน้ำ 3 เฟส การพันขดลวดจะเป็นแบบ 2 ชั้นหมุนกันขดลวดที่ใช้ในเครื่องกำเนิดไฟฟ้ากระแสสลับ ภายในโรเตอร์จะถูกต่อแบบสตาร์มีปลายสายอ่อนมา 3 เส้นด้วยเชือกับสลิปปริงที่ติดกับเพลาของโรเตอร์ซึ่งมีแรงต้านติดตั้งอยู่ และมีข้อจำกัดคือ ที่โรเตอร์ต้องมี

จำนวนขั้วเท่ากับจำนวนขั้วที่เกิดจากสเตเตอร์ เราสามารถนำความต้านทานจากภายนอกที่ต่อแบบสตาร์มาต่อเข้ากับสลิปปริงที่ต่อมากจากคลัวดในโรเตอร์แบบคลัวดพันรอบโรเตอร์ เพื่อเพิ่มแรงบิดเริ่มหมุน เมื่อมอเตอร์หมุนเข้าสู่ความเร็วปกติ สลิปปริงจะถูกลัดวงจร ทำให้โรเตอร์ทำงานเหมือนกับโรเตอร์แบบกรงกระอก



รูปที่ 2.4 โรเตอร์แบบคลัวดพันรอบโรเตอร์ (Wound-rotor) ของมอเตอร์ไฟฟ้าเหนี่ยวนำ



รูปที่ 2.5 โครงสร้างภายในของมอเตอร์ไฟฟ้าเหนี่ยวนำแบบคลัวดพันรอบโรเตอร์ (Wound-rotor induction motor)

## 2.2 หลักการพื้นฐานของมอเตอร์ไฟฟ้าเหนี่ยวนำ (Basic Induction Motor Concepts)

หลักการทำงานของมอเตอร์ไฟฟ้าเหนี่ยวนำมีพื้นฐานใกล้เคียงกับมอเตอร์ไฟฟ้าซิงโครนัส ซึ่งสามารถอธิบายหลักการพื้นฐานและสามารถหาค่าพารามิตเตอร์ที่สำคัญต่างๆ ได้ดังนี้

### 2.2.1 การเหนี่ยวนำให้เริ่มหมุนในมอเตอร์ไฟฟ้าเหนี่ยวนำ

เมื่อจ่ายไฟฟ้ากระแสสลับ 3 เฟสให้คลัวคาร์เมเจอร์ที่สเตเตอร์ จะเกิดสนามแม่เหล็กหมุน เมื่อฟลักก์แม่เหล็กของสนามแม่เหล็กหมุนเคลื่อนตัวด้วยตัวนำที่ผ่านอยู่ในโรเตอร์ จะเกิดการเหนี่ยวนำขึ้นและเนื่องจากโรเตอร์ถูกลัดวงจรจึงเกิดแรงดันไฟฟ้าเหนี่ยวนำและแรงบิดเหนี่ยวนำเป็นผลให้โรเตอร์หมุนไปในทิศทางเดียวกับสนามแม่เหล็กหมุน หลังจากที่โรเตอร์หมุนด้วย

ความเร็วรอบคงตัวหรือความเร็วไกล์เคียงกับความเร็วของสนามแม่เหล็กหมุนที่สเตเตอร์เนื่องจากการจ่ายแรงดันไฟฟ้าให้กับมอเตอร์ กระแสไฟฟ้าเหนี่ยวนำจะสร้างสนามแม่เหล็ก ( $B_s$ ) มีทิศทางการหมุนตามเข็มนาฬิกา ความเร็วสนามแม่เหล็กหมุนสามารถหาได้จากสมการแสดงความสัมพันธ์ดังนี้คือ

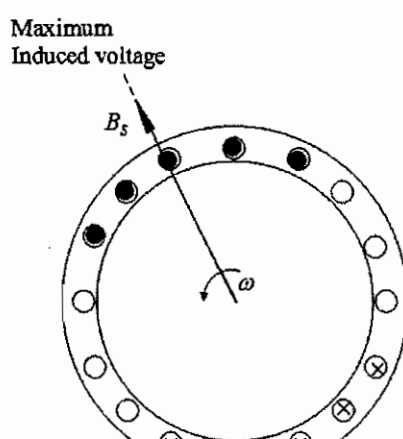
$$n_s = \frac{120f}{P} \quad (2.1)$$

โดยที่  $n_s$  = ความเร็วของสนามแม่เหล็กหมุน [r/min or rpm]  
 $P$  = จำนวนขั้วแม่เหล็ก [ขั้ว]  
 $f$  = ความถี่กระแสไฟฟ้าที่จ่ายให้มอเตอร์ [Hz]

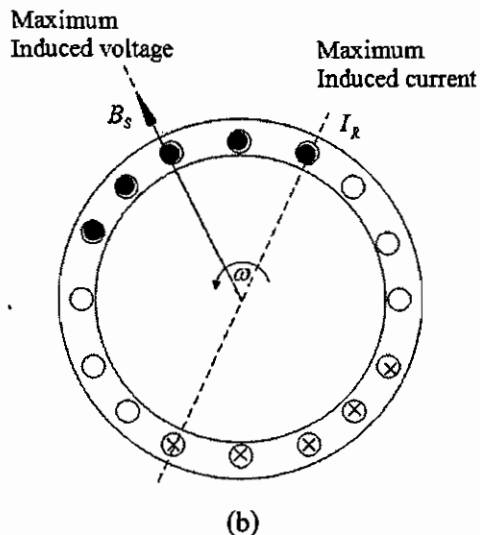
แรงดันไฟฟ้าเหนี่ยวนำที่เกิดขึ้นที่ตัวนำโรเตอร์สามารถหาได้จาก

$$e_{ind} = (v \times B) \cdot l \quad (2.2)$$

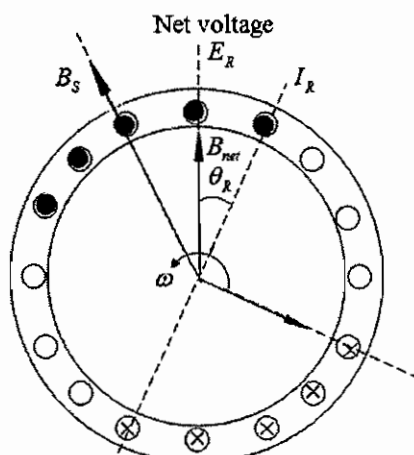
โดยที่  $e_{ind}$  = แรงดันไฟฟ้าเหนี่ยวนำในตัวนำโรเตอร์  
 $v$  = ความเร็วในการเคลื่อนตัวตัดฟลีกแม่เหล็กของตัวนำโรเตอร์  
 $B$  = ความหนาแน่นของฟลีกแม่เหล็กของชุดวงที่สเตเตอร์  
 $l$  = ความยาวของตัวนำโรเตอร์ที่เคลื่อนตัวตัดกับฟลีกแม่เหล็ก



(a)



(b)



(c)

**รูปที่ 2.6** แรงดันไฟฟ้าเหนี่ยวนำที่เกิดขึ้นที่ตัวนำโรเตอร์ (a) สนามแม่เหล็กหมุนที่สเตเตอร์  
เหนี่ยวนำให้เกิดแรงดันไฟฟ้าที่ตัวนำโรเตอร์  
(b) แรงดันไฟฟ้าที่โรเตอร์จะสร้างกระแสไฟฟ้าไหลในตัวนำโรเตอร์ซึ่งจะตามหลัง  
แรงดันไฟฟ้า  
(c) กระแสไฟฟ้าในตัวนำโรเตอร์จะสร้างสนามแม่เหล็ก และเกิดความหนาแน่นพลัก  
แม่เหล็กในตัวนำโรเตอร์  $B_R$

จากสมการแสดงความสัมพันธ์ของการเคลื่อนที่ในตัวนำโรเตอร์ที่เกิดขึ้นจากการเหนี่ยวนำ  
ที่สเตเตอร์ ความเร็วในการเคลื่อนตัวตัดกับสนามแม่เหล็กของแกน โรเตอร์ด้านบนจะสัมพันธ์กับ  
สนามแม่เหล็กทางด้านขวา โดยแรงดันไฟฟ้าเหนี่ยวนำด้านบนจะพุ่งออกจากหน้ากระดาษและ

แรงดันเหนี่ยวนำด้านล่างจะมีทิศพุ่งเข้า ซึ่งเป็นผลทำให้เกิดกระแสไฟฟ้าไหลในดัวโรเตอร์ อย่างไรก็ตามเมื่อตัวนำโรเตอร์ได้ถูกเหนี่ยวนำ กระแสสูงสุดของตัวนำโรเตอร์จะนำหน้าแรงดันสูงสุดของโรเตอร์ กระแสที่ไหลในดัวนำโรเตอร์จะสร้างสนามแม่เหล็ก และเกิดความหนาแน่นฟลักแม่เหล็ก ในตัวนำโรเตอร์ ( $B_R$ ) ซึ่งจะเหนี่ยวนำเกิดปฏิสัมพันธ์กับความหนาแน่นฟลักแม่เหล็กที่สเตเตอร์ทำให้เกิดแรงบิดขึ้นในเครื่องจักรกลไฟฟ้าที่โรเตอร์ ( $\tau_{ind}$ ) ดังสมการ

$$\tau_{ind} = kB_R \times B_S \quad (2.3)$$

แรงบิด ( $\tau_{ind}$ ) ที่เกิดขึ้นจะทำให้โรเตอร์หมุนไปได้ด้วยความเร็วต่ำกว่าความเร็วซิงโครนัส ถ้าความเร็วของโรเตอร์เท่ากับความเร็วซิงโครนัส ค่า  $e_{ind}$  และ  $\tau_{ind}$  จะเท่ากับศูนย์ ดังนั้นการเร่งความเร็วของมอเตอร์ไฟฟ้าเหนี่ยวนำจึงไม่สามารถทำให้ความเร็วของโรเตอร์มีค่าเท่ากับความเร็วซิงโครนัสได้

การกลับทิศทางการหมุนของมอเตอร์ไฟฟ้าเหนี่ยวนำ ทำได้ง่ายเพียงแค่สลับสายไฟคู่ใดคู่หนึ่งที่จ่ายให้ขาด漉วที่สเตเตอร์เท่านั้นก็จะทำให้สนามแม่เหล็กหมุนและโรเตอร์หมุนกลับทิศทางได้ นับได้ว่าเป็นข้อดีอีกอย่างหนึ่งของมอเตอร์ไฟฟ้าเหนี่ยวนำ

### 2.2.2 โรเตอร์สลิป (Rotor Slip)

การเหนี่ยวน้ำที่เกิดขึ้นที่แกนของโรเตอร์จะขึ้นอยู่กับความสัมพันธ์ของความเร็วโรเตอร์ และสนามแม่เหล็กหมุน และเนื่องจากพฤติกรรมของการเหนี่ยวนำของมอเตอร์จะขึ้นอยู่กับแรงดันและกระแสของโรเตอร์ ตัวแปรที่ถูกใช้ในการหาความสัมพันธ์ของการเคลื่อนที่ของโรเตอร์และสนามแม่เหล็กหมุน หาได้จากความเร็วสลิป ( $n_{slip}$ ) ซึ่งสามารถหาได้จากผลต่างของความเร็วซิงโครนัสและความเร็วโรเตอร์ ดังสมการนี้ คือ

$$n_{slip} = n_s - n_r \quad (2.4)$$

โดยที่  $n_{slip}$  = ความเร็วสลิป [rpm]

$n_s$  = ความเร็วของสนามแม่เหล็กหมุนที่สเตเตอร์ [rpm]

$n_r$  = ความเร็วที่แกนเพลาของโรเตอร์ [rpm]

จากสมการสามารถนำไปหาค่าสลิป ( $s$ ) ซึ่งจะคิดเป็นเปอร์เซ็นต์ ได้จากสมการนี้ คือ

$$s = \frac{n_{slip}}{n_s} (\times 100\%) \quad (2.5)$$

$$s = \frac{n_s - n_r}{n_s} (\times 100\%) \quad (2.6)$$

สมการนี้สามารถเขียนในรูปของความเร็วชิงมุม  $\omega$  [rad/sec] ดังนี้

$$s = \frac{\omega_s - \omega_r}{\omega_s} (\times 100\%) \quad (2.7)$$

จากสมการจะพบว่า ค่าสลิป ( $s$ ) จะขึ้นอยู่กับจุดทำงานของมอเตอร์ ซึ่งที่สภาวะการทำงานส่วนใหญ่ค่าสลิป ( $s$ ) จะมีค่า  $0 < s < 1$  ถ้าคิดเป็นเปอร์เซ็นต์ คือ  $0-100\%$  ดังนั้น  $n_r < n_s$  เสมอ ( $n_r$  หมุนในทิศทางเดียวกับ  $n_s$ ) ถ้าโรเตอร์หมุนที่ความเร็วชิงโครนัส  $n_r = n_s$  ค่าสลิปจะมีค่าเป็นศูนย์ ( $s = 0$ ) หรือ  $0\%$  ซึ่งเปรียบได้กับการทำงานของมอเตอร์ที่สภาวะไม่มีโหลด แต่ถ้าโรเตอร์หยุดนิ่งไม่มีการหมุน  $n_r = 0$  ค่าสลิปจะมีค่าเท่ากับหนึ่ง ( $s = 1$ ) หรือ  $100\%$

นอกจากนั้นเราสามารถหาค่าความเร็วทางกลของแกนเพลาโรเตอร์ในเทอมของความเร็วชิงโครนัสและค่าสลิป โดยหาจากสมการที่ (2.6) และสมการที่ (2.7) ดังนี้

$$n_r = (1-s)n_s \quad (2.8)$$

$$\text{หรือ } \omega_r = (1-s)\omega_s \quad (2.9)$$

### 2.2.3 ความถี่ทางไฟฟ้าของโรเตอร์ (The Electrical Frequency on the Rotor)

การทำงานของมอเตอร์ไฟฟ้าเนี่ยนานาจ้ะเกิดจากการเห็นใจของแรงดันกระแสไฟฟ้าที่คัวโรเตอร์ ซึ่งความถี่ทางไฟฟ้าที่โรเตอร์จะมีค่าเท่ากับความถี่ของแหล่งจ่ายไฟฟ้าที่จ่ายให้กับสตเตเตอร์  $f_r = f$  ในขณะที่โรเตอร์ยังไม่หมุน แต่เมื่อโรเตอร์เริ่มนีกการหมุน ความถี่ของโรเตอร์จะขึ้นอยู่กับค่าสลิป ( $s$ ) ดังสมการ คือ

$$s = \frac{n_s - n_r}{n_s} \quad (2.10)$$

และความถี่โรเตอร์สามารถเขียนได้ดังสมการนี้คือ

$$f_r = sf \quad (2.11)$$

โดยที่  $f_r$  = ความถี่โรเตอร์ [Hz]

$f$  = ความถี่ของแหล่งจ่ายไฟฟ้า [Hz]

เมื่อแทนสมการที่ (2.10) ลงในสมการที่ (2.11) จะได้ว่า

$$f_r = \frac{n_s - n_r}{n_s} f$$

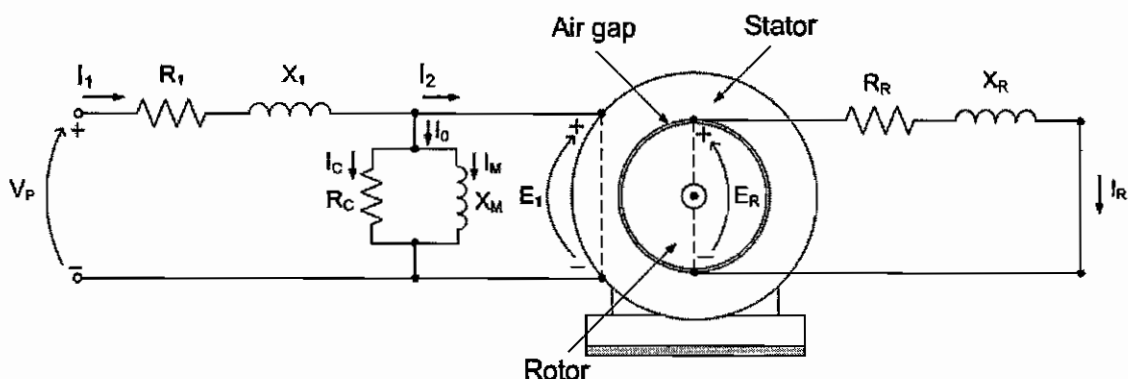
$$\text{และจาก } n_s = \frac{120f}{P}$$

$$\text{ดังนั้น จะได้ว่า } f_r = \frac{P}{120}(n_s - n_r) \quad (2.12)$$

### 2.3 วงจรสมมูลของมอเตอร์ไฟฟ้าเหนี่ยวนำ

#### (The Equivalent Circuit of an Induction Motor)

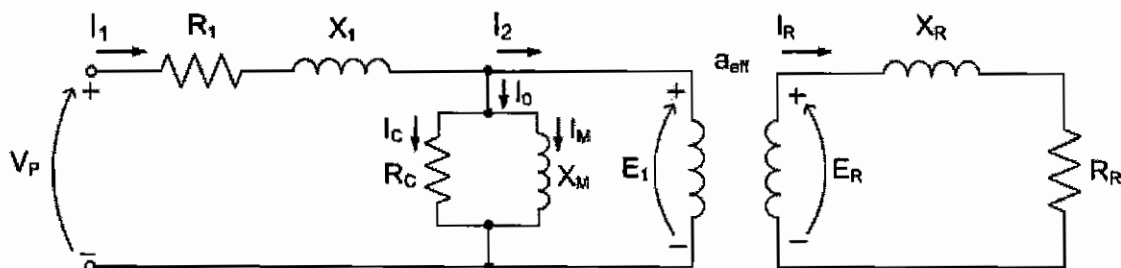
การจ่ายหรือถ่ายโอนพลังงานจากสเตเตอร์ไปยังโรเตอร์ของมอเตอร์ไฟฟ้าเหนี่ยวนำทำได้ เช่นเดียวกับหม้อแปลงไฟฟ้า โดยมุ่งลดคลาดที่สเตเตอร์เปรียบเหมือนกับชุดคลาดปฐมภูมิ และชุด ชุดคลาดที่โรเตอร์เปรียบเหมือนกับชุดคลาดทุติภูมิ เต่อจะมีความแตกต่างกันอยู่ตรงที่ชุดคลาดที่ โรเตอร์ของมอเตอร์ไฟฟ้าเหนี่ยวนำจะถูกกลัดคลาดไว ดังนั้นวงจรสมมูลของมอเตอร์ไฟฟ้าเหนี่ยวนำ จึงคล้ายกับวงจรสมมูลของหม้อแปลงไฟฟ้า



รูปที่ 2.7 วงจรสมมูลของมอเตอร์ไฟฟ้าเหนี่ยวนำ

### 2.3.1 วงจรสมมูลของมอเตอร์ไฟฟ้าเหนี่ยวนำเทียบเท่ากับของหม้อแปลงไฟฟ้า

วงจรสมมูลของหม้อแปลงไฟฟ้าที่ใช้ในการอธิบายถึงหลักการทำงานของมอเตอร์ไฟฟ้าเหนี่ยวนำ แสดงได้ดังรูปที่ 2.8 จากรูปวงจรจะมีความต้านทานและตัวเหนี่ยวนำร่วม (Self-inductance) ทางค้านขดลวดปัจจุบัน (ขดลวดสเตเตอร์) ความต้านทานของขดลวดสเตเตอร์คือ  $R_1$  และค่ารีแอคเคนซ์ร่วมในลบทองขดลวดสเตเตอร์ คือ  $X_1$  ซึ่งเป็นองค์ประกอบที่อยู่ทางค้านอินพุตของวงจร โดย  $V_P$  คือค่าแรงดันไฟฟ้าที่จ่ายให้กับมอเตอร์ที่ชุดขดลวดสเตเตอร์

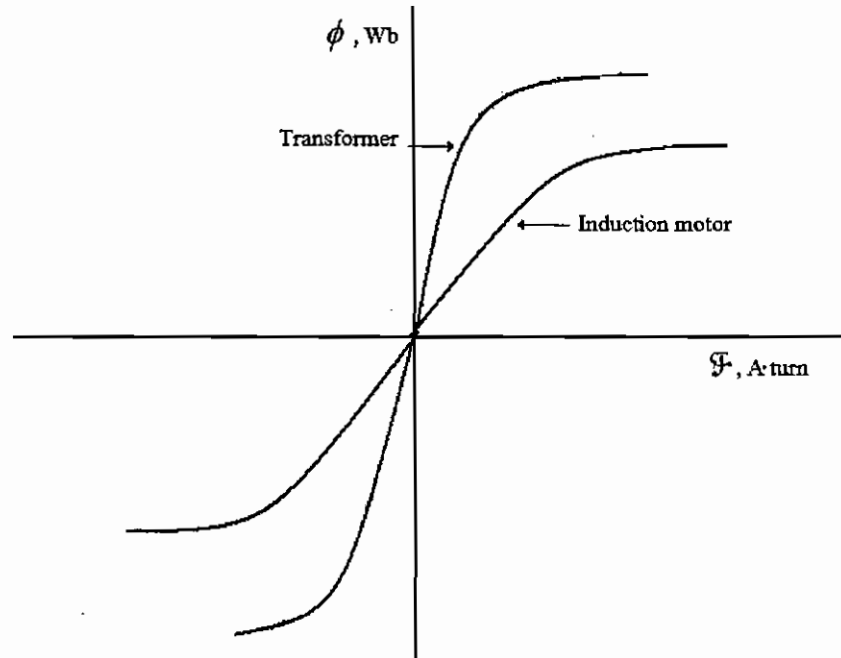


รูปที่ 2.8 วงจรสมมูลของมอเตอร์ไฟฟ้าเหนี่ยวนำเทียบเท่าของหม้อแปลงไฟฟ้า

ฟลักซ์ในแกนเหล็กจะเป็นตัวที่สัมพันธ์กับแรงดันไฟฟ้าที่สเตเตอร์  $E_1$  เปรียบเทียบได้กับส่วนที่เป็นแกนเหล็กของหม้อแปลงไฟฟ้า เมื่อเปรียบเทียบเส้นโค้งของแรงเคลื่อนไฟฟ้าเหนี่ยวนำ (Magnetomotive-force) - เส้นโค้งฟลักซ์ (Magnetization curve) ระหว่างหม้อแปลงไฟฟ้าและมอเตอร์ไฟฟ้าเหนี่ยวนำจะได้ดังรูปที่ 2.9 จะสังเกตได้ว่าความชันของเส้นโค้งฟลักซ์-แรงเคลื่อนแม่เหล็กไฟฟ้าจะน้อยกว่าเส้นโค้งของหม้อแปลงไฟฟ้า ที่เป็นเช่นนี้เนื่องจากในมอเตอร์ไฟฟ้าเหนี่ยวนำมีช่องว่างอากาศเข้ามาเกี่ยวข้องซึ่งจะส่งผลให้ค่ารีแอคเคนซ์ของฟลักซ์มีค่าเพิ่มขึ้นและทำให้ความสัมพันธ์ระหว่างขดลวดทางค้านปัจจุบันและขดลวดทางค้านทุติยภูมิมีค่าลดลง ในส่วนของค่ารีแอคเคนซ์สูงที่เกิดจากช่องว่างอากาศบอกให้ทราบว่าค่ากระแสไฟฟ้าเหนี่ยวนำสามารถแม่เหล็กจะส่งผลต่อระดับของฟลักซ์ อย่างไรก็ตาม ค่ารีแอคเคนซ์ที่เกิดจากสนามแม่เหล็ก  $X_M$  ในวงจรสมมูลจะมีค่าน้อยมากเมื่อเทียบกับของหม้อแปลงไฟฟ้า

แรงดันไฟฟ้าที่สเตเตอร์  $E_1$  สามารถรวมกับแรงดันไฟฟ้าเหนี่ยวนำของโรเตอร์  $E_R$  ได้ถ้าเราทราบค่าอัตราส่วนระหว่างจำนวนรอบของขดลวดทางค้านปัจจุบันและทุติยภูมิ แต่การหาค่าอัตราส่วนของมอเตอร์ไฟฟ้าเหนี่ยวน้ำแบบกรุงกระอกทำได้ยาก เพราะไม่มีความแตกต่างของขดลวดที่จะแยกได้อย่างชัดเจน

แรงดันไฟฟ้า  $E_R$  เกิดขึ้นมาจากการกระแสที่ไหลในโรเตอร์ โดยการลัดวงจรทางค้านทุติยภูมิ



รูปที่ 2.9 เส้นโค้งของแรงเคลื่อนไฟฟ้าเหนี่ยวนำ (Magnetomotive-force)

- เส้นโค้งของฟลักซ์แม่เหล็ก (Magnetization curve)

ระหว่างหม้อแปลงไฟฟ้าและมอเตอร์ไฟฟ้าเหนี่ยวนำ

ค่าอิมพีเดนซ์ทางด้านปฐมภูมิและกระแสไฟฟ้าเหนี่ยวนำสามารถแม่เหล็กของมอเตอร์ไฟฟ้าเหนี่ยวนำ จะเป็นองค์ประกอบที่เหมือนกันกับวงจรสมมูลของหม้อแปลงไฟฟ้า แต่วงจรสมมูลของมอเตอร์ไฟฟ้าเหนี่ยวนำจะแตกต่างจากการ์สมมูลของหม้อแปลงไฟฟ้าตรงที่ความถี่ของโรเตอร์ที่ก่อให้เกิดแรงดัน  $E_R$  และค่าอิมพีเดนซ์ของโรเตอร์ที่ประกอบด้วยความต้านทานของชุดขดลวดที่โรเตอร์  $R_R$  และรีแอคเคนซ์ร่วมไหลดของชุดขดลวดโรเตอร์  $jX_R$

### 2.3.2 วงจรสมมูลของโรเตอร์

เมื่อแรงดันไฟฟ้าทางด้านขดลวดที่สเตเตอร์เหนี่ยวนำขดลวดที่โรเตอร์ โดยทั่วๆ ไป ความสัมพันธ์ของสนามแม่เหล็กด้านสเตเตอร์จะทำให้เกิดแรงเคลื่อนไฟฟ้าเหนี่ยวนำทางด้านของโรเตอร์ ในสภาวะการเคลื่อนที่ที่โรเตอร์หยุดนิ่ง เราเรียกว่า Locked-rotor หรือ Blocked-rotor ซึ่งจะเกิดแรงดันไฟฟ้าเหนี่ยวนำขนาดใหญ่ ส่วนแรงดันที่มีค่าน้อยมากจะเกิดขึ้นเมื่อโรเตอร์เคลื่อนที่ด้วยความเร็วเทียบเท่าความเร็วสนามแม่เหล็กหมุนที่สเตเตอร์ ผลที่ได้คือไม่มีการเคลื่อนที่นั่นเอง แรงเคลื่อนไฟฟ้าที่ความเร็วโรเตอร์ค่าคงที่ เป็นสัดส่วนโดยตรงกับค่าสลิป ( $s$ ) ดังสมการนี้ คือ

$$E_R = sE_{LR} \quad (2.13)$$

โดยที่  $E_R$  = แรงดันไฟฟ้าเหนี่ยวนำของโรเตอร์ที่สภาวะการทำงานปกติ  
 $E_{LR}$  = แรงดันไฟฟ้าเหนี่ยวนำของโรเตอร์ที่สภาวะโรเตอร์ถูกยึดไม่ให้หมุน

แรงดันไฟฟ้าเหนี่ยวนำทางค้านของโรเตอร์ จะประกอบด้วยค่าความต้านทานของชุดขดลวดที่โรเตอร์  $R_R$  และค่ารีแอคแทนซ์ร่วมไอลของชุดขดลวดโรเตอร์  $jX_R$  ความต้านทานของชุดขดลวดที่โรเตอร์  $R_R$  เป็นค่าคงที่ ไม่ขึ้นกับค่าสัลปิ ขณะที่รีแอคแทนซ์ร่วมไอลของชุดขดลวดที่โรเตอร์จะมีผลของค่าสัลปิมาเกี่ยวข้องด้วย

รีแอคแทนซ์ร่วมไอลของชุดขดลวด โรเตอร์จะขึ้นอยู่กับค่าอินดักแทนซ์ของโรเตอร์และความถี่ของแรงดันกระแสไฟฟ้าที่เกิดในโรเตอร์ เมื่อกำหนดให้  $L_R$  เป็นค่าอินดักแทนซ์ของทางค้านโรเตอร์ จะสามารถหาค่ารีแอคแทนซ์ร่วมไイルของชุดขดลวดที่โรเตอร์ได้จาก

$$X_R = \omega_r L_R = 2\pi f_r L_R$$

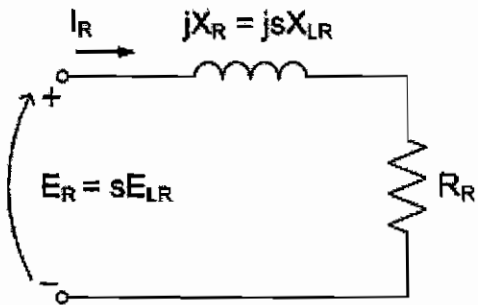
จากสมการ  $f_r = sf$  จะได้ว่า

$$\begin{aligned} X_R &= 2\pi s f L_R \\ &= s(2\pi f L_R) \\ &= s X_{LR} \end{aligned} \quad (2.14)$$

โดยที่  $X_{LR}$  = รีแอคแทนซ์ของโรเตอร์ขณะที่โรเตอร์ถูกยึดไม่ให้มีการหมุน  
 วงจรสมมูลของโรเตอร์สามารถแสดงได้ดังรูปที่ 2.10 และค่ากระแสไฟฟ้าที่ชุดขดลวดของโรเตอร์ จะหาได้จาก

$$\begin{aligned} I_R &= \frac{E_R}{R_R + jX_R} \\ I_R &= \frac{s E_{LR}}{R_R + js X_{LR}} \end{aligned} \quad (2.15)$$

$$\text{หรือ} \quad I_R = \frac{E_{LR}}{R_R/s + jX_{LR}} \quad (2.16)$$



รูปที่ 2.10 วงจรสมมูล์โรเตอร์ของมอเตอร์ไฟฟ้า恒ี่ยวนำ

สังเกตว่าสมการที่(2.16) ค่าอิมพิเดนซ์ของโรเตอร์มีค่าเท่ากับ

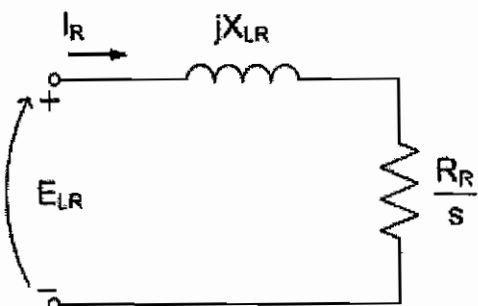
$$Z_{R,eq} = \frac{R_R}{s} + jX_{LR} \quad (2.17)$$

และวงจรสมมูลของโรเตอร์จะได้ดังรูปที่ 2.11 จากรวงแรงดันไฟฟ้า恒ี่ยวนำที่โรเตอร์จะเท่ากับ  $E_{LR}$  และมีค่าอิมพิเดนซ์รวมเป็น  $Z_{R,eq}$  ค่ากระแสที่ไหลในชุดขดลวดโรเตอร์สามารถคำนวณโดยเป็นกราฟเทียบกับความเร็วรอบของโรเตอร์ได้ดังรูปที่ 2.12

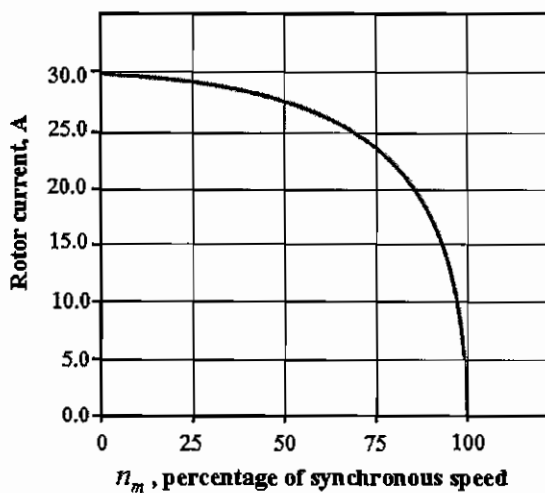
ที่ค่าสลิปค่าต่ำๆ เทอมของ  $R_R/s >> X_{LR}$  ดังนั้นกระแสไฟฟ้าของโรเตอร์จะเปรียบตามค่าสลิปเป็นเชิงเส้น แต่ที่ค่าสลิปสูงๆ ค่า  $X_{LR}$  จะมีค่ามากกว่า  $R_R/s$  มาก ส่งผลให้กระแสมีค่าเข้าไกต่ำกว่าที่สภาวะคงตัว (Steady-state value)

### 2.3.3 วงจรสมมูลของมอเตอร์ไฟฟ้า恒ี่ยวนำ

วงจรสมมูลสุดท้ายของมอเตอร์ไฟฟ้า恒ี่ยวนำจะอ้างถึงวงจรสมมูลของโรเตอร์ที่ถูกขับขึ้นจากส่วนของสเตเตอร์ ดังรูปที่ 2.11



รูปที่ 2.11 วงจรสมมูล โรเตอร์ที่สนใจค่าของสลิปในความต้านทาน  $R_R$



รูปที่ 2.12 กระแสไฟฟ้าของโรเตอร์ที่ความเร็วอบทองโรเตอร์ค่าต่างๆ

แรงดัน, กระแสและค่าอิมพีเดนซ์ทางด้านทุกด้านของหม้อแปลงไฟฟ้าปกติสามารถอ้างอิงจากทางด้านปฐมภูมิได้โดยอาศัยอัตราส่วนของหม้อแปลงไฟฟ้า เมื่อ  $a$  คือ ค่าอัตราส่วนของหม้อแปลงไฟฟ้า (Turns ratio) ดังสมการนี้ คือ

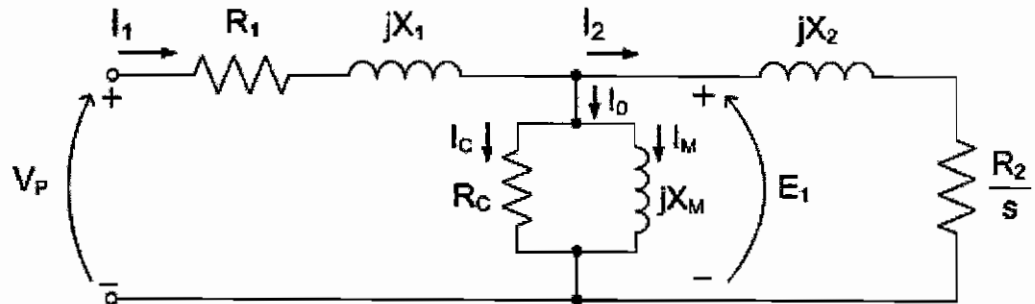
$$V_P = V'_S = aV_S \quad (2.18)$$

$$I_P = I'_S = \frac{I_S}{a} \quad (2.19)$$

$$\text{และ} \quad Z'_S = a^2 Z_S \quad (2.20)$$

ถ้าอัตราส่วนของมอเตอร์ไฟฟ้าหนึ่ยวนำมีค่าเท่ากับ  $a_{eff}$  (Effective turns ratio) จะสามารถเปลี่ยนค่าของแรงดันที่โรเตอร์ได้เป็น

$$E_l = E'_{LR} = a_{eff} E_{LR} \quad (2.21)$$



รูปที่ 2.13 วงจรสมมุติอิเล็กซ์ของมอเตอร์ไฟฟ้าเหนี่ยวนำ

หาค่ากระแสไฟได้จาก

$$I_2 = I_R' = \frac{I_R}{a_{eff}} \quad (2.22)$$

และหาค่าออมพิเดนซ์ของโรเตอร์ไฟได้จาก

$$Z_2 = Z_{R,eq}' = a_{eff}^2 \left( \frac{R_R}{s} + jX_{LR} \right) \quad (2.23)$$

จากสมการที่ (2.23) จะอธิบายได้ว่า

$$R_2 = R_R' = a_{eff}^2 R_R \quad (2.24)$$

$$X_2 = X_{LR}' = a_{eff}^2 X_{LR} \quad (2.25)$$

ดังนั้นวงจรสมมุติสุดท้ายที่ได้เป็นดังรูปที่ 2.13

จากสมการที่ (2.21-2.25)

$E_1$  = แรงดันไฟฟ้า  $E_{LR}$  ที่อ้างอิงจากวงจรสเตเตอเร

$I_2$  = กระแสไฟฟ้า  $I_R$  ที่อ้างอิงจากวงจรสเตเตอเร

$Z_2$  = ออมพิเดนซ์  $Z_{R,eq}$  ที่อ้างอิงจากวงจรสเตเตอเร

$R_2$  = ความต้านทาน  $R_R$  ที่อ้างอิงจากวงจรสเตเตอเร

$X_2$  = รีแอคเคนซ์  $X_{LR}$  ที่อ้างอิงจากวงจรสเตเตอเร

## 2.4 คุณลักษณะของแรงบิดและความเร็วของมอเตอร์ไฟฟ้าหนี่ยวน่า

ความสัมพันธ์ระหว่างแรงบิดและความเร็วสามารถวิเคราะห์ได้จากพุติกรรมที่เกิดจากสนามแม่เหล็กภายในโรเตอร์ ดังนี้สมการทั่วไปของแรงบิดจะหาได้จากการรสมูลของมอเตอร์ไฟฟ้าหนี่ยวน่า

### 2.4.1 การหนี่ยวน่าให้เกิดแรงบิด

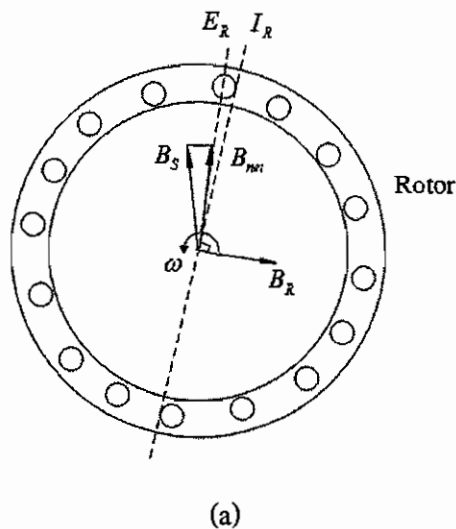
จากรูปที่ 2.14 (a) แสดงหลักการทำงานของโรเตอร์แบบกรงกระอกในสภาวะที่ไม่มีกระแสหรือมีกระแสเบาและมีความเร็วเข้าใกล้ความเร็วซึ่งโครนัส สนามแม่เหล็ก  $B_{net}$  เกิดขึ้นจากการกระแสสนามแม่เหล็ก  $I_M$  ที่ไหลในวงจรสมมูล ขนาดของกระแสสนามและสนามแม่เหล็ก  $B_{net}$  จะเป็นสัดส่วนกับแรงดัน  $E_1$  ถ้ากำหนดให้  $E_1$  เป็นค่าคงที่ สนามแม่เหล็กภายในมอเตอร์ก็จะคงที่ด้วย ซึ่งรวมถึงแรงดัน  $E_1$  ก็จะปรับตามโหลด เมื่อมากจากแรงดันตกคร่อมที่อินพัคเดนซ์ของสเตเตอร์ คือ  $R_1$  และ  $X_1$  แต่อย่างไรก็ตามแรงดันที่ตกคร่อมจะมีค่าน้อยมาก จึงถือเป็นค่าคงที่ได้

ในสภาวะที่ไม่มีกระแสของมอเตอร์ไฟฟ้าหนี่ยวน่า ความเร็วสูงที่โรเตอร์จะมีค่าน้อยมาก ความสัมพันธ์ของการหันนຽงระหว่างโรเตอร์และสนามแม่เหล็กมีค่าน้อยมากและความถี่ที่โรเตอร์ก็จะมีค่าน้อยมากด้วย อันเนื่องมาจากการแรงดัน  $E_R$  ที่ถูกหนี่ยวน้ำที่เกนของโรเตอร์และกระแส  $I_R$  ที่ไหลมีค่าน้อยมากเช่นกัน เพราะความถี่ของโรเตอร์มีค่าน้อยจึงทำให้แยกแคนซ์ของโรเตอร์มีค่าเพี้ยนใกล้ศูนย์ และกระแสสูงสุดที่โรเตอร์  $I_R$  จะอินเพสกับแรงดันที่โรเตอร์  $E_R$  ดังนั้นผลที่เกิดจากกระแสที่โรเตอร์จะได้สนามแม่เหล็ก  $B_R$  แรงบิดที่ถูกสร้างขึ้น สามารถหาได้จากสมการ ดังนี้

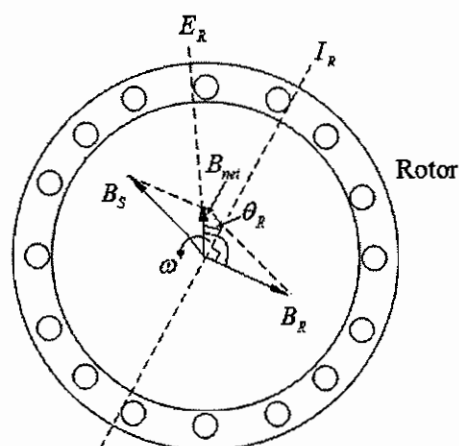
$$\tau_{ind} = k B_R \times B_{net} \quad (2.26)$$

และหาขนาดได้จาก

$$\tau_{ind} = k B_R B_{net} \sin \delta \quad (2.27)$$



(a)



(b)

รูปที่ 2.14 (a) สนามแม่เหล็กภายในมอเตอร์ไฟฟ้าเนี่ยวนำภายใต้สภาวะโลด渺  
 (b) สนามแม่เหล็กภายในมอเตอร์ไฟฟ้าเนี่ยวนำภายใต้สภาวะโลดหนัก

จากรูปที่ 2.14 (b) แสดงหลักการทำงานของมอเตอร์ไฟฟ้าเนี่ยวนำที่สภาวะมีโลดหรือมีการะหนัก กระแสที่มอเตอร์ และมุม  $\delta$  จะมีค่าเพิ่มขึ้น โดยการเพิ่มขึ้นของ  $B_R$  จะส่งผลทำให้แรงบิดมีค่าเพิ่มขึ้นอันเป็นผลมาจากการ  $\sin \delta$ , ( $\delta > 90^\circ$ ) และเมื่อแรงบิดเข้าใกล้แรงบิดสูงสุด กระแสที่แกนเพลาจะเพิ่มขึ้น เพราะค่าของ  $\sin \delta$  จะลดลงมากกว่าที่  $B_R$  จะเพิ่มขึ้น ที่สภาวะดังกล่าวแรงบิดเนี่ยวนำจะลดลงจนกระทั่งมอเตอร์หยุดหมุน จากสมการที่ (2.27) เราสามารถพิจารณาถึงพฤติกรรมของมอเตอร์ได้ดังนี้

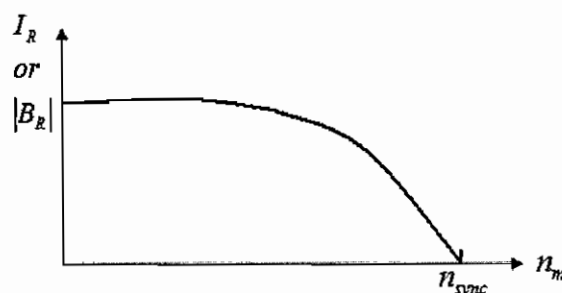
1.  $B_R$  สนามแม่เหล็กของโรเตอร์เป็นสัดส่วนกับกระแสที่ไหลในแกนโรเตอร์เมื่อโรเตอร์ยังไม่ถึงจุดไม่อิ่มตัว กระแสที่ไหลในโรเตอร์จะเพิ่มขึ้นเมื่อมีการเพิ่มขึ้นของค่าสัลปิหรือความเร็ว

ทดลง จากสมการ  $I_R = \frac{E_{LR}}{R_R/s + jX_{LR}}$  สามารถพล็อตกราฟได้ดังรูปที่ 2.15 (a)

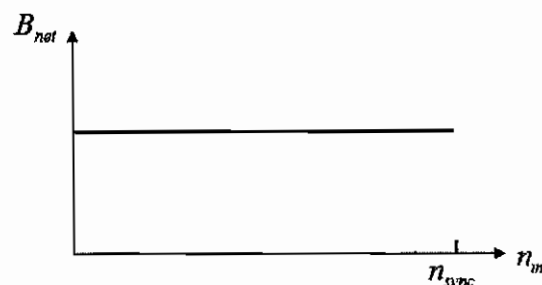
2.  $B_{net}$  สนามแม่เหล็กภายในตัวมอเตอร์เป็นสัดส่วนกับแรงดันไฟฟ้า  $E_1$  และเป็นค่าประมาณคงที่ กราฟการเปรียบเทียบระหว่าง  $B_{net}$  และความเร็วของมอเตอร์เป็นดังรูปที่ 2.15 (b)

3.  $\sin \delta$  เป็นมุณะระหว่าง  $B_{net}$  และ  $B_R$  จากรูปที่ 2.14 (b) จะได้ว่า

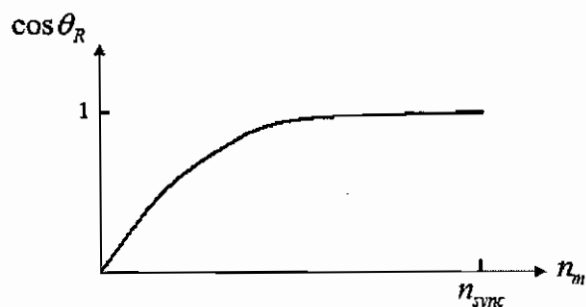
$$\delta = \theta_R + 90^\circ \quad (2.28)$$



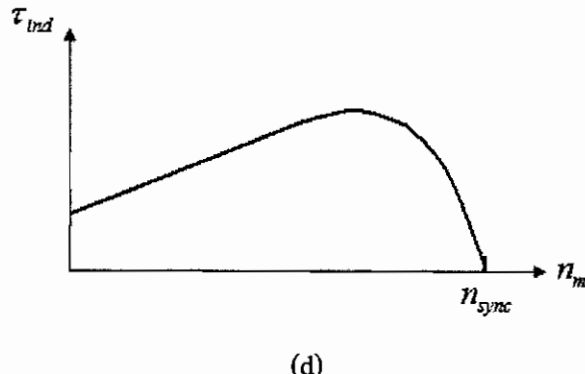
(a)



(b)



(c)



รูปที่ 2.15 กราฟแสดงคุณลักษณะของแรงบิดและความเร็วของมอเตอร์ไฟฟ้าเหนี่ยวนำ

อย่างไรก็ตาม  $\sin \delta = \sin(\theta_R + 90^\circ) = \cos \theta_R$  ซึ่งเป็นค่าตัวประกอบกำลังของส่วนโรเตอร์ สามารถหาค่าได้จากสมการนี้คือ

$$\theta_R = \tan^{-1} \frac{X_R}{R_R} \quad (2.29)$$

$$= \tan^{-1} s X_{LR} \quad (2.30)$$

จะได้ว่า

$$PF_R = \cos \theta_R$$

$$PF_R = \cos \left( \tan^{-1} \frac{s X_{LR}}{R_R} \right) \quad (2.31)$$

จากสมการ (2.31) สามารถนำมาพลีอตกราฟได้ดังรูปที่ 2.15 (c)

เมื่อแรงบิดเหนี่ยวนำเป็นสัดส่วนโดยตรงกับทั้งสามค่าที่กล่าวมานี้ คุณสมบัติของแรงบิด-ความเร็วในมอเตอร์ไฟฟ้าเหนี่ยวนำสามารถนำมาอธิบายได้ใหม่ โดยการพลีอตกราฟระหว่างแรงบิด-ความเร็วได้ดังรูปที่ 2.15 (d)

จากเส้นโค้งคุณลักษณะที่ได้เราสามารถแบ่งขอบเขตออกเป็น 3 ช่วง ช่วงแรกเราจะเรียกว่า “low-slip region” ในช่วงนี้ ค่าสลิปของมอเตอร์จะเพิ่มขึ้นเป็นเชิงเส้นตามค่าโหลดและความเร็วที่โรเตอร์จะคงลงเป็นเชิงเส้นตามค่าโหลดที่เพิ่มขึ้น การทำงานในช่วงนี้จะไม่ดำเนินถึงรีแอคแทนซ์ที่โรเตอร์ จึงประมาณว่าค่าตัวประกอบกำลังมีค่าเป็นหนึ่งเมื่อกระแสที่โรเตอร์มีค่าเพิ่มขึ้นเป็นเชิงเส้นตามค่าสลิป ช่วงขอบเขตของสภาพการทำงานปกติของมอเตอร์ไฟฟ้าเหนี่ยวนำเราต้องอยู่ในช่วงนี้ทั้งหมด

ช่วงที่สองของกราฟเราเรียกว่า “moderate slip region” ในช่วงนี้ความถี่ของโรเตอร์จะมีค่าสูงมาก และขนาดของรีแอคเดนซ์จะมีค่าใกล้เคียงกับความต้านทานที่โรเตอร์ ในช่วงนี้กระแสของโรเตอร์จะเพิ่มขึ้นไม่เร็วเท่ากับช่วงแรก ค่าดัชนีประกอบกำลังก็จะเริ่มลดลงและแรงบิดสูงสุดก็จะเกิดที่จุดเดียวกันนี้ด้วย

ช่วงสุดท้ายของกราฟเราเรียกว่า “high-slip region” เป็นช่วงที่แรงบิดเห็นได้ยาน้ำจะลดลงเมื่อโหลดเพิ่มมากขึ้น กระแสที่โรเตอร์จะลดลงอย่างมากส่งผลให้ค่าดัชนีประกอบกำลังลดลงตามไปด้วย

สำหรับมอเตอร์ไฟฟ้าเห็นได้ยาน้ำ แรงบิดพุ่ลเอาด์จะมีค่าเป็น 200 ถึง 250 เปอร์เซ็นต์ของแรงบิดขณะที่มอเตอร์มีภาวะสูงสุด และแรงบิดเริ่มต้นจะมีค่าเท่ากับ 150 เปอร์เซ็นต์หรือมีค่าใกล้เคียงกับแรงบิดขณะที่มอเตอร์มีภาวะสูงสุด

#### 2.4.2 สมการแรงบิดเห็นได้ยาน้ำที่เกิดจากมอเตอร์ไฟฟ้าเห็นได้ยาน้ำ

การหาแรงบิดที่เกิดจากมอเตอร์สามารถหาได้จากการสมมูลของมอเตอร์ไฟฟ้าเห็นได้ยาน้ำ และแผนภาพแสดงทิศทางการไหลของกำลังไฟฟ้าเพื่อนำมาใช้ในการหาแรงบิดเห็นได้ยาน้ำ ซึ่งสามารถหาได้จากสมการดังนี้คือ

$$\tau_{ind} = \tau_{conv} = \frac{P_{conv}}{\omega_r} \quad (2.32)$$

$$= \frac{P_{AG}}{\omega_s} \quad (2.33)$$

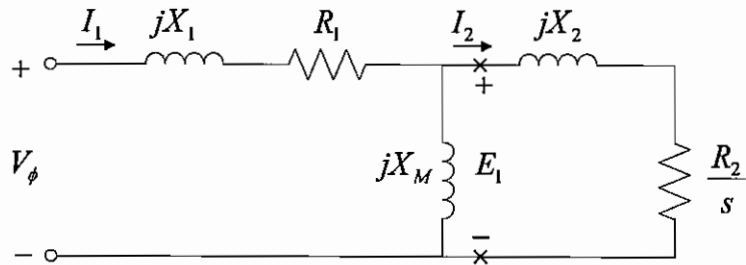
สมการสุดท้ายจะถูกใช้เมื่อความเร็วซิงโตรนัสเป็นค่าคงที่ เมื่อ  $\omega_s$  เป็นค่าคงที่เรา ก็จะสามารถเข้าใจได้ว่ากำลังไฟฟ้าในช่องว่างอากาศจะทำให้เกิดแรงบิดเห็นได้ยาน้ำขึ้นที่มอเตอร์ เมื่อกล่าวถึงวงจรสมมูลดังรูปที่ 2.16 จากรูปเป็นวงจร 1 เพสซิ่งเราะเห็นได้ว่า

$$P_{AG,1\phi} = I_2^2 \frac{R_2}{s} \quad (2.34)$$

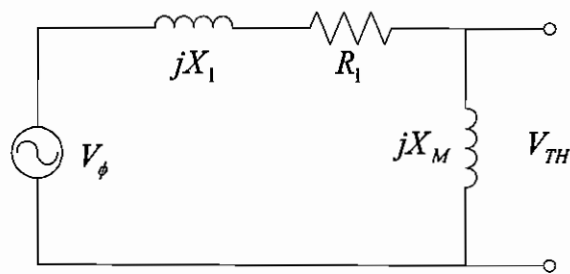
ดังนั้น กำลังไฟฟ้าที่เกิดในช่องว่างอากาศรวมสามารถหาได้จาก

$$P_{AG} = 3I_2^2 \frac{R_2}{s} \quad (2.35)$$

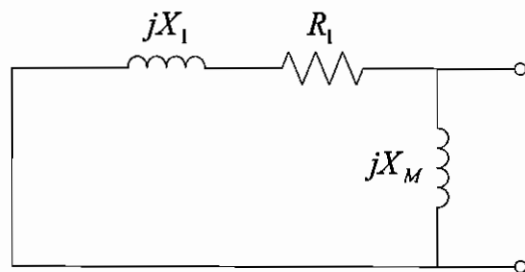
ถ้าเราหาค่ากระแส  $I_2$  ได้เรา ก็จะทราบค่าของกำลังไฟฟ้าที่เกิดในช่องว่างอากาศและค่าแรงบิดเห็นได้ยาน้ำ แค่อย่างไรก็ตามเราจะหากระแส  $I_2$  โดยใช้วิธีของเทวินนิ



รูปที่ 2.16 วงจรสมมูลของมอเตอร์ไฟฟ้าเหนี่ยวนำ



(a)



(b)

รูปที่ 2.17 (a) วงจรหาค่าแรงดันเทวินิน (b) วงจรหาค่าอัมพีเดนซ์เทวินิน

จากการจะสมมูลของมอเตอร์ไฟฟ้าเหนี่ยวนำดังรูปที่ 2.16 จะใช้วิธีของเทวินินในการหา วงจรสมมูลของเทวินิน ได้โดยใช้กฎการแบ่งแรงดันคือ

$$\begin{aligned}V_{TH} &= V_\phi \frac{Z_M}{Z_M + Z_1} \\&= V_\phi \frac{jX_M}{R_1 + jX_1 + jX_M}\end{aligned}$$

หาขนาดของแรงดันเทวินนิคือ

$$V_{TH} = \frac{X_M}{\sqrt{R_1^2 + (X_1 + X_M)^2}} V_\phi \quad (2.36)$$

ถ้า  $X_M \gg X_1$  และ  $X_M \gg R_1$  ขนาดของแรงดันเทวินนิสามารถประมาณค่าได้ดังนี้

$$V_{TH} = V_\phi \frac{X_M}{X_1 + X_M} \quad (2.37)$$

หากำลังพิเดนซ์ของวงจรสมมูลเทวินนิได้จาก

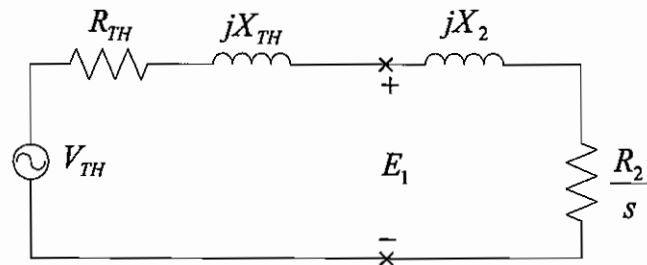
$$\begin{aligned} Z_{TH} &= \frac{Z_1 Z_M}{Z_1 + Z_M} \\ Z_{TH} &= R_{TH} + jX_{TH} = \frac{jX_M(R_1 + jX_1)}{R_1 + j(X_1 + X_M)} \end{aligned} \quad (2.38)$$

เพราะว่า  $X_M \gg X_1$  และ  $X_M + X_1 \gg R_1$  ค่าความต้านทานและรีแอคเดนซ์จะมีค่าประมาณดังนี้คือ

$$R_{TH} \approx R_1 \left( \frac{X_M}{X_1 + X_M} \right)^2 \quad (2.39)$$

$$X_{TH} \approx X_1 \quad (2.40)$$

จะได้วงจรสมมูลตั้งรูป



รูปที่ 2.18 วงจรสมมูลเทวินิน

จากวงจรจะหาค่ากระแสได้จาก

$$I_2 = \frac{V_{TH}}{Z_{TH} + Z_2} \quad (2.41)$$

$$= \frac{V_{TH}}{R_{TH} + R_2/s + jX_{TH} + jX_2} \quad (2.42)$$

ขนาดของกระแสคือ

$$I_2 = \frac{V_{TH}}{\sqrt{(R_{TH} + R_2/s)^2 + (X_{TH} + X_2)^2}} \quad (2.43)$$

หาค่ากำลังไฟฟ้าในช่องว่างอากาศได้จาก

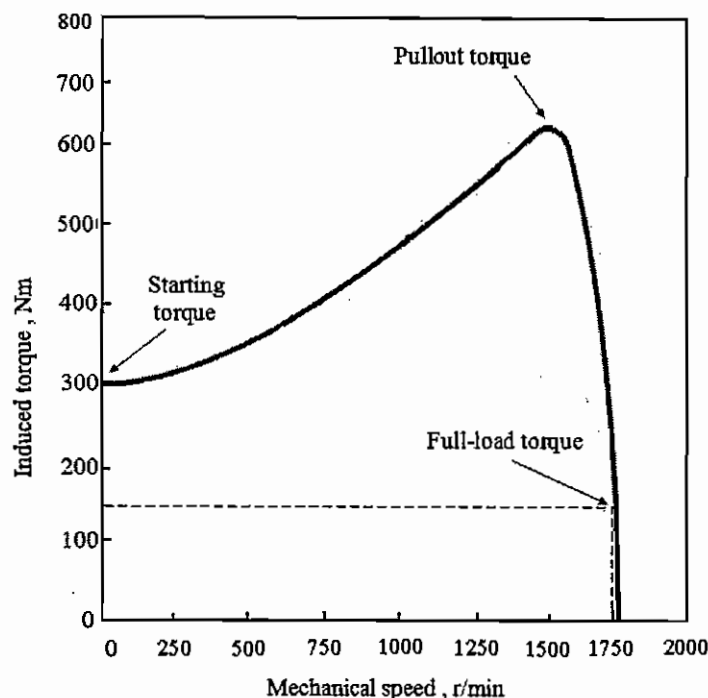
$$\begin{aligned} P_{AG} &= 3I_2^2 \frac{R_2}{s} \\ &= \frac{3V_{TH}^2 R_2/s}{(R_{TH} + R_2/s)^2 + (X_{TH} + X_2)^2} \end{aligned} \quad (2.44)$$

และแรงบิดเห็นี่ยวน้ำที่แกนโรเตอร์หาค่าได้จาก

$$\tau_{ind} = \frac{P_{AG}}{\omega_s}$$

$$\tau_{ind} = \frac{3V_{TH}^2 R_2/s}{\omega_s \left[ (R_{TH} + R_2/s)^2 + (X_{TH} + X_2)^2 \right]} \quad (2.45)$$

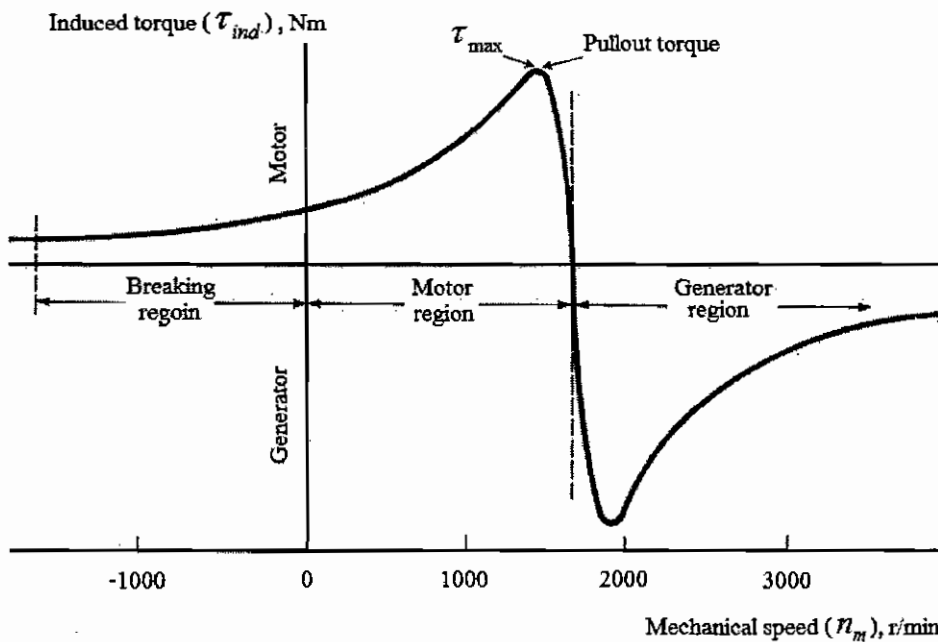
กราฟแรงบิดของมอเตอร์ไฟฟ้าหนี่ยวน้ำเทียบกับความเร็ว จะได้ดังรูปที่ 2.19



รูปที่ 2.19 เส้นโค้งคุณลักษณะของแรงบิดเทียบกับความเร็วในมอเตอร์ไฟฟ้าหนี่ยวน้ำ

จากเส้นโค้งแสดงคุณลักษณะแรงบิด-ความเร็วในมอเตอร์ไฟฟ้าหนี่ยวน้ำ 3 เพสทำให้ทราบถึงข้อบุกการทำงานของมอเตอร์ไฟฟ้าหนี่ยวน้ำดังนี้

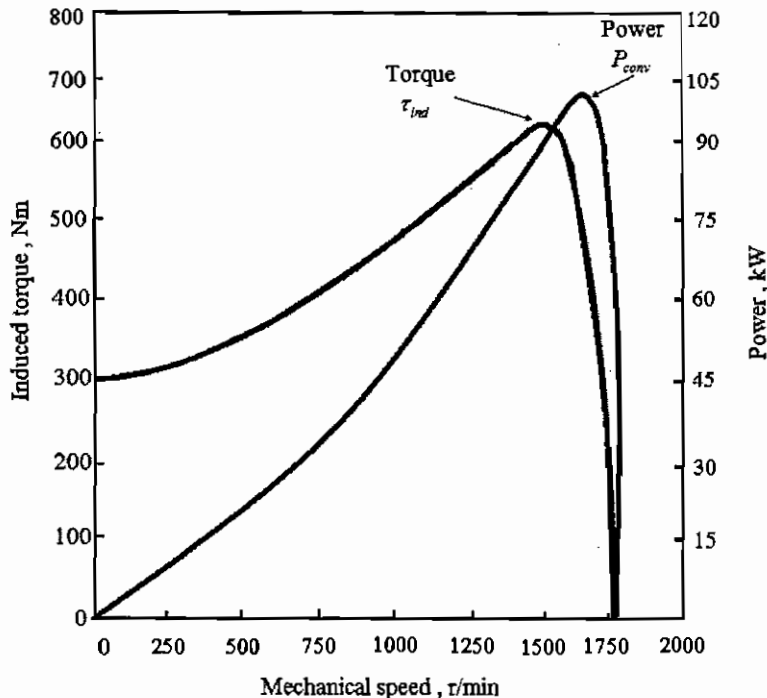
- แรงบิดที่เกิดขึ้นจะมีค่าเป็นศูนย์ที่ความเร็วซิงโตรนัส
- เส้นโค้งแรงบิด-ความเร็วเกือบเป็นเส้นในช่วงระหว่างแรงบิดขณะไม่มีภาระกับแรงบิดขณะที่มีภาระเดิมที่ซึ่งจะเรียกว่า ย่านการทำงานปกติของมอเตอร์
- มีแรงบิดสูงสุด แรงบิดนี้เรียกว่า Pullout torque หรือ Breakdown torque จะมีค่าเป็น 2-3 เท่าของแรงบิดที่พิกัดขณะจ่ายโหลดเดิมที่



รูปที่ 2.20 เส้นโค้งคุณลักษณะของแรงบิดเทียบกับความเร็วในมอเตอร์ไฟฟ้าเนี้ยวนำ และแสดงช่วงการทำงานของมอเตอร์

4. มีแรงบิดเริ่มต้นหมุนมากกว่าแรงบิดที่พิกัดเล็กน้อย ดังนั้นมอเตอร์จึงเริ่มต้นขึ้นโดยด้วยต่อ กับ โหลดขณะเริ่มต้นหมุนได้ทันที โดยแรงบิดที่โหลดนั้นจะด้องไม่นักกว่าแรงบิดที่พิกัด
5. ถ้ามอเตอร์ของมอเตอร์ไฟฟ้าเนี้ยวนำถูกขับด้วยความเร็วที่สูงกว่าความเร็วซิงโครนัส แรงบิดที่เกิดขึ้นในมอเตอร์จะกลับทิศทางและมอเตอร์ดังกล่าวจะทำงานเป็นเครื่องกำเนิดไฟฟ้าซึ่งจะเปลี่ยนกำลังงานทางกลให้เป็นกำลังงานทางไฟฟ้า
6. การสลับสายคู่ได้คู่หนึ่งจะทำให้สามารถแม่เหล็กเปลี่ยนทิศทาง มอเตอร์จึงหมุนกลับทิศทางได้ แต่ก่อนที่จะกลับทิศทางนั้นจะมีอยู่ชุดหนึ่งที่มอเตอร์หยุดอยู่กับท่อย่างรวดเร็วซึ่งเราเรียกว่า Plugging ซึ่งนำมาสู่หลักการในการควบคุมมอเตอร์รูปแบบหนึ่ง กำลังทางกลที่เกิดจากการเปลี่ยนทิศการหมุน หากได้จากสมการ

$$P_{conv} = \tau_{ind} \omega_r = \tau_{conv} \omega_r$$



รูปที่ 2.21 แรงบิดเหนี่ยวนำ และกำลังไฟฟ้าที่เปลี่ยนพลังงานไฟฟ้าเป็นพลังงานกล เทียบกับความเร็วของมอเตอร์ไฟฟ้าเหนี่ยวนำ 4 ขั้ว

จากเส้นโค้งคุณลักษณะจะสังเกตเห็นว่ากำลังสูงสุดที่เกิดขึ้นที่มอเตอร์ไฟฟ้าเหนี่ยวนำจะเกิดขึ้นที่ความเร็วมากกว่าจุดที่เกิดค่าแรงบิดสูงสุด และค่ากำลังไฟฟ้าที่เกิดขึ้นจะมีที่มอเตอร์กลับทิศทางการหมุนจะมีค่าเป็นศูนย์

#### 2.4.3 แรงบิดสูงสุดในมอเตอร์เหนี่ยวนำ

เมื่อแรงบิดเหนี่ยวนำที่เกิดในช่องว่างอากาศสูงสุดมีค่าเท่ากับ  $P_{AG}/\omega_s$  และกำลังที่ช่องว่างอากาศสูงสุดจะมีค่าเท่ากับกำลังตကร์อ่มที่รีแอคแทนซ์  $R_2/s$  ก็ต่อเมื่อค่ารีแอคแทนซ์มีค่าสูงสุด ซึ่งจะเกิดขึ้นได้เมื่อขนาดของรีแอคแทนซ์  $R_2/s$  มีค่าเท่ากับขนาดอิมพีเดนซ์ของแหล่งจ่าย โดยพิจารณาจากวงจรรูปที่ 2.18 ซึ่งอิมพีเดนซ์ที่แหล่งจ่ายของวงจรสมมูลคือ

$$Z_{source} = R_{TH} + jX_{TH} + jX_2 \quad (2.46)$$

กำลังไฟฟ้าสูงสุดจะเกิดได้เมื่อ

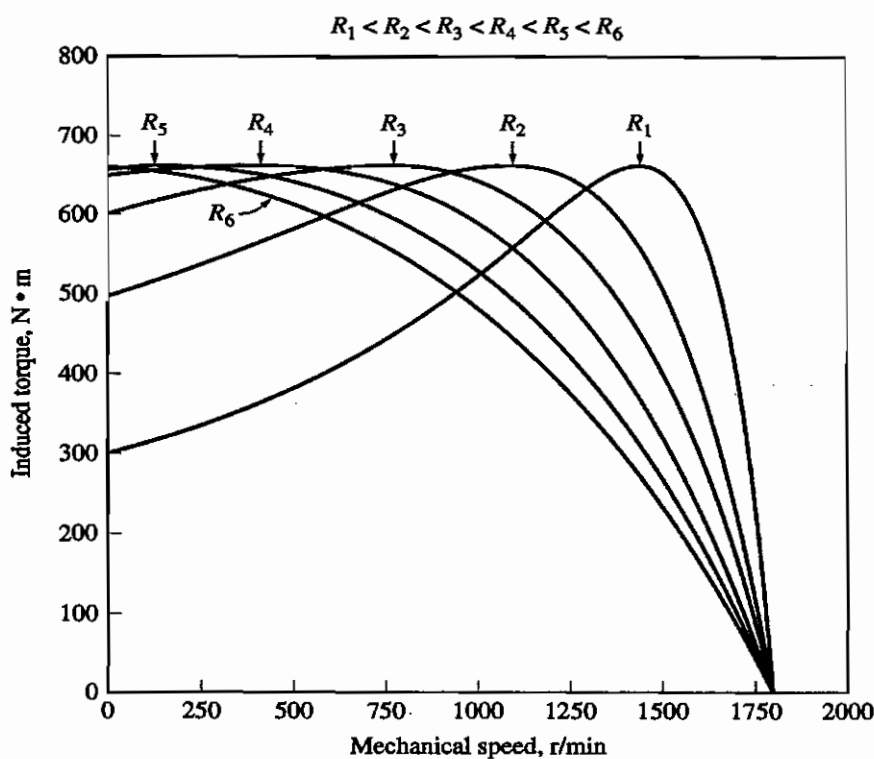
$$\frac{R_2}{s} = \sqrt{R_{TH}^2 + (X_{TH} + X_2)^2} \quad (2.47)$$

ดังนั้น ค่าสลิปที่แรงบิดสูงสุดสามารถหาได้จาก

$$S_{\max} = \frac{R_2}{\sqrt{R_{TH}^2 + (X_{TH} + X_2)^2}} \quad (2.48)$$

จากสมการจะเห็นว่าค่าสลิปจะเป็นสัดส่วนโดยตรงกับค่าความต้านทานของโรเตอร์ สามารถหาค่าแรงบิดสูงสุดได้จากการแทนค่าสมการที่ (2.48) ลงในสมการที่ (2.45) สมการแรงบิดสูงสุดที่ได้มีค่าเท่ากับ

$$\tau_{\max} = \frac{3V_{TH}^2}{2\omega_s \left[ R_{TH} + \sqrt{R_{TH}^2 + (X_{TH} + X_2)^2} \right]} \quad (2.49)$$



รูปที่ 2.22 ผลของความต้านทานโรเตอร์ที่มีต่อเส้นโค้งคุณลักษณะของแรงบิด และความเร็วของมอเตอร์

คุณสมบัติแรงบิด-ความเร็วของมอเตอร์ไฟฟ้าหนี่ยวนำชนิดวาว์โรเตอร์ดังแสดงในรูปที่ 2.22 มอเตอร์ชนิดนี้สามารถเพิ่มค่าความต้านทานที่โรเตอร์ได้โดยต่อความต้านทานภายนอกเข้า

กับสิลป์ริง จากภาพจะสังเกตเห็นว่าเมื่อค่าความด้านทานเพิ่มขึ้น ค่าแรงบิดสูงสุดจะเกิดขึ้นที่ความเร็วรอบต่ำลง แต่ระดับค่าสูงสุดของแรงบิดจะยังคงที่เท่ากันทุกค่าความด้านทาน

ข้อดีของมอเตอร์ไฟฟ้าเหนี่ยวนำชนิดคลอดพันรอบมอเตอร์ คือสามารถเริ่มเดินได้ขณะที่มีภาระมากๆ ซึ่งค่าความด้านทานที่ต่อเข้าไปยังวงจร มอเตอร์จะช่วยเพิ่มแรงบิดได้ตามที่ต้องการ และในทางตรงกันข้ามค่าความด้านทานที่ต่อเข้าไปในวงจรจะถูกปลดออกเมื่อแรงบิดหมุนตัวอย่างเร็วที่เข้าใกล้ความเร็วซึ่งโครนัสที่สภาวะการทำงานปกติ